

文章编号:1006-3471(2012)04-0342-06

锂离子电池负极材料 $\text{Li}_4\text{Ti}_5\text{O}_{12}$ 的半固相法 制备及碳包覆改性

刘金龙, 卢周广*, 任 扬, 朱雅洁, 胡姗姗,
彭 忠, 钱 东, 唐有根

(中南大学 化学化工学院, 化学电源与材料研究所, 湖南 长沙 410083)

摘要: 由半固相法制得锂离子电池负极材料 $\text{Li}_4\text{Ti}_5\text{O}_{12}$, 并研究了 $\text{Li}_4\text{Ti}_5\text{O}_{12}$ 的碳包覆改性。采用 XRD、SEM、TEM 以及 HRTEM 观察和分析产物的相结构与形貌。采用恒流充放电、循环伏安法和交流阻抗技术测试了材料的电化学性质。结果表明, $\text{Li}_4\text{Ti}_5\text{O}_{12}$ 因颗粒团聚电化学性能严重下降, 该电极在 0.1C 和 0.5C 首周期放电容量分别为 121.7 和 87.6 $\text{mAh}\cdot\text{g}^{-1}$; 碳包覆 $\text{Li}_4\text{Ti}_5\text{O}_{12}/\text{C}$ 材料呈球形分布, 能抑制颗粒团聚, 该电极倍率 <0.5C 时的放电比容量大于 180 $\text{mAh}\cdot\text{g}^{-1}$, 超过 $\text{Li}_4\text{Ti}_5\text{O}_{12}$ 的理论放电比容量 ($175 \text{ mAh}\cdot\text{g}^{-1}$); 在 1C、5C 和 10C 倍率下, 其容量仍保持在 136、79.9 和 58.3 $\text{mAh}\cdot\text{g}^{-1}$, 碳包覆改性材料具有优异的循环寿命和高倍率性能。

关键词: 半固相法; $\text{Li}_4\text{Ti}_5\text{O}_{12}$; 碳包覆; 锂离子电池

中图分类号: TM912.9

文献标识码: A

$\text{Li}_4\text{Ti}_5\text{O}_{12}$ 具有良好的锂离子嵌入/脱出性能, 在锂离子嵌脱过程中其晶胞体积几乎保持不变^[1], 循环稳定性、可逆性及耐过充放性良好。其理论容量为 175 $\text{mAh}\cdot\text{g}^{-1}$, 放电平台为 1.55 V (vs. Li^+/Li), 作为锂离子电池负极, 可有效防止金属锂枝晶产生、电解液分解, 提高了锂离子电池的安全性。另外, $\text{Li}_4\text{Ti}_5\text{O}_{12}$ 资源丰富, 无毒环保, 且价格低廉, 有广泛的应用前景。

目前, $\text{Li}_4\text{Ti}_5\text{O}_{12}$ 的制备方法主要有传统固相法和溶胶凝胶法。 $\text{Li}_4\text{Ti}_5\text{O}_{12}$ 电子电导率低, 高倍率性能差, 限制了其规模化应用。目前提高 $\text{Li}_4\text{Ti}_5\text{O}_{12}$ 电子电导率主要有三种方法: 改进合成方法, 制备纳米尺寸的 $\text{Li}_4\text{Ti}_5\text{O}_{12}$ 颗粒^[2-3]; 加入导电物质^[4-10], 如碳掺杂、碳包覆和聚苯胺包覆; 金属离子掺杂^[11-12]。

本文由半固相法制备 $\text{Li}_4\text{Ti}_5\text{O}_{12}$ 材料, 进行碳包覆改性, 该工艺不仅降低了传统固相法的反应温度, 缩短了反应时间, 并可有效地避免产物颗粒团聚, 提高产物的导电性, 大幅改善 $\text{Li}_4\text{Ti}_5\text{O}_{12}/\text{C}$ 的

电化学性能。

1 实验

1.1 材料制备

前驱体 TiO_2 : 参照文献[13]制备。将钛酸四正丁酯(TBT)溶于丙酮, 通入水蒸气, 磁力搅拌, TBT 水解得乳浊液, 再将乳浊液烘干, 所得沉淀物在 400 ℃下煅烧 2 h 即可。

$\text{Li}_4\text{Ti}_5\text{O}_{12}$: 按摩尔比 0.82:1 称取 LiOH 和 TiO_2 , 将 LiOH 用极少量蒸馏水溶解, 再加入 TiO_2 , 搅拌过夜, 搁置 12 h, 60 ℃烘干, 得固相物。固相物在 400 ℃下预烧 4 h, 再升温至 800 ℃煅烧 4 h, 冷却即可。

$\text{Li}_4\text{Ti}_5\text{O}_{12}/\text{C}$: 类似上述制备过程, 在 LiOH 溶液加入柠檬酸作碳源, Ar 气保护煅烧即得产物。

1.2 材料的结构分析和形貌表征

使用 X 射线衍射仪(日本理学 D/MAX2550) 测试不同条件下制备的材料, Cu 靶, K_α 射线源, 管压 40 kV, 管流 250 mA, 步长 0.02°, 扫描范围 $2\theta =$

10°~85°。使用 SEM(JEOL-820 型,日本)和 TEM(JEM-2100F 型,日本)观察材料几何形貌,测试材料颗粒尺寸与粒径分布。

1.3 电化学测试

将 $\text{Li}_4\text{Ti}_5\text{O}_{12}$ 或 $\text{Li}_4\text{Ti}_5\text{O}_{12}/\text{C}$ 、乙炔黑和 PVDF 按 70:20:10 (by mass) 比混合,玛瑙研钵研磨 30 min,滴入适量的 N-甲基吡啶烷酮(NMP),研磨混浆。将混浆均匀涂布于洁净铜箔上,60 °C 下真空干燥 5 h,然后在压片机上压实,接着切成 14 mm 极片,将极片真空干燥(110 °C, 10 h),在 20 MPa 下压成电极片。该电极片与高纯锂片电极、聚丙烯微孔隔膜、1 mol·L⁻¹ LiPF₆/碳酸乙烯酯(EC)+碳酸二乙酯(DEC)(1:1, by volume)在充满 Ar 气的扣式电池封口箱(德国 Mbraun)组装成 CR2016 型扣式电池。

使用 LANDCT2001A 型蓝电池测试系统(武汉金诺电子有限公司)测试电池恒电流充放电曲线(电压范围 1.0~3.0 V(vs. Li^+/Li))。

使用 CHI660D 型电化学工作站测试扣式电池循环伏安曲线(扫速 0.1 mV·s⁻¹,电压范围 1.0~3.0 V(vs. Li^+/Li))和电极交流阻抗(频率范围 0.01~100 kHz,振幅 5 mV)。

2 结果与讨论

2.1 结构和形貌分析

图 1 为 $\text{Li}_4\text{Ti}_5\text{O}_{12}$ 和 $\text{Li}_4\text{Ti}_5\text{O}_{12}/\text{C}$ 样品的 X 射线衍射谱图。从图可以看出, $\text{Li}_4\text{Ti}_5\text{O}_{12}$ 和 $\text{Li}_4\text{Ti}_5\text{O}_{12}/\text{C}$ 样品的主要衍射峰均出现于 18.3°、35.5°、43.2°、47.3°、57.2°、62.8°、66.0° 和 79.3°,

与尖晶石结构 $\text{Li}_4\text{Ti}_5\text{O}_{12}$ 的标准衍射峰(JCPDS No. 49-0207)相符。其峰形尖锐,表明产物为高结晶度的 $\text{Li}_4\text{Ti}_5\text{O}_{12}$ 。 $\text{Li}_4\text{Ti}_5\text{O}_{12}/\text{C}$ 样品的 XRD 谱图呈现一些杂峰,相应的物相为 Li_2TiO_3 (JCPDS No. 33-0831)。 $\text{Li}_4\text{Ti}_5\text{O}_{12}/\text{C}$ 样品的 XRD 谱图中也有几个杂质峰,对应于金红石型 TiO_2 (JCPDS No. 65-0190),与文献[7]报道一致。 $\text{Li}_4\text{Ti}_5\text{O}_{12}/\text{C}$ 样品的 X 射线衍射谱图没有碳衍射峰,可能因其含量甚低(<7%),或为无定形碳。据 Scherrer 公式估算(最大衍射峰), $\text{Li}_4\text{Ti}_5\text{O}_{12}/\text{C}$ 的晶粒尺寸约 47 nm。

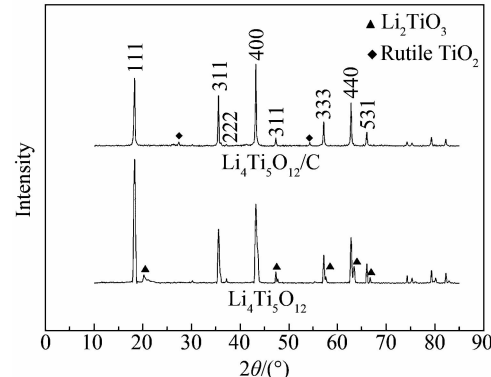


图 1 $\text{Li}_4\text{Ti}_5\text{O}_{12}$ 样品和 $\text{Li}_4\text{Ti}_5\text{O}_{12}/\text{C}$ 样品的 XRD 谱图

Fig. 1 XRD patterns of $\text{Li}_4\text{Ti}_5\text{O}_{12}$ and $\text{Li}_4\text{Ti}_5\text{O}_{12}/\text{C}$

前驱体 TiO_2 、 $\text{Li}_4\text{Ti}_5\text{O}_{12}$ 和 $\text{Li}_4\text{Ti}_5\text{O}_{12}/\text{C}$ 的 SEM 照片如图 2 所示。从图 2 可以看出,前驱体 TiO_2 主要为球形颗粒,其表面较粗糙,粒径尺寸 0.1~1 μm (A、A')。 $\text{Li}_4\text{Ti}_5\text{O}_{12}$ 样品表面光滑,呈形状各异的砾石状颗粒,粒径尺寸为 0.3~1 μm ,有较严重

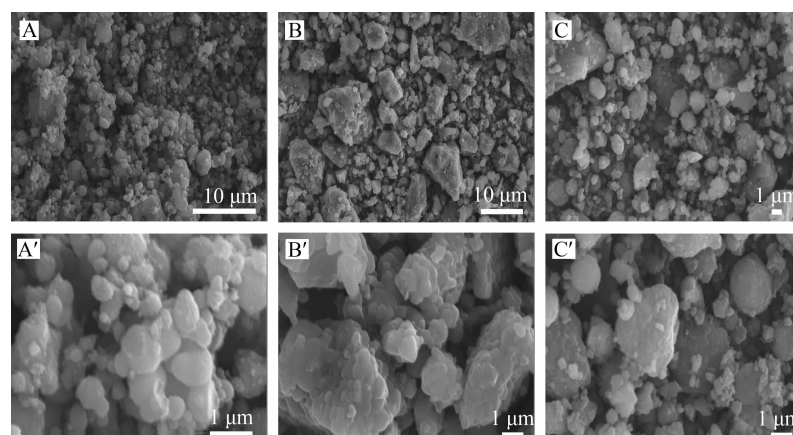


图 2 前驱体 TiO_2 (A、A') $、\text{Li}_4\text{Ti}_5\text{O}_{12}$ (B、B') 和 $\text{Li}_4\text{Ti}_5\text{O}_{12}/\text{C}$ (C、C') 样品的 SEM 照片

Fig. 2 SEM images of TiO_2 precursor (A, A'), $\text{Li}_4\text{Ti}_5\text{O}_{12}$ (B, B') and $\text{Li}_4\text{Ti}_5\text{O}_{12}/\text{C}$ (C, C')

的团聚,前驱体经煅烧其结构发生坍塌,样品颗粒还有 $2\sim10\text{ }\mu\text{m}$ 的不规则团聚体(B、B')。碳包覆 $\text{Li}_4\text{Ti}_5\text{O}_{12}/\text{C}$ 样品绝大部分颗粒呈球形分布,表面较粗糙,粒径尺寸 $0.3\sim2\text{ }\mu\text{m}$,仍保持前驱体 TiO_2 的球形形貌,柠檬酸碳化后形成的碳层既防止前驱体 TiO_2 微球体结构的坍塌,又抑制球形颗粒间的团聚(C、C')。

图3为 $\text{Li}_4\text{Ti}_5\text{O}_{12}/\text{C}$ 的TEM和HRTEM照片。可以看出, $\text{Li}_4\text{Ti}_5\text{O}_{12}/\text{C}$ 颗粒由棱角分明的小晶粒构成,晶粒粒径 50 nm ,与据 Scherrer 公式估算的结果相符(图3A、A'、A'')。从图3B可清晰地观察到 $\text{Li}_4\text{Ti}_5\text{O}_{12}$ 的晶格,晶格间距为 0.49 nm ,晶格取向规则,晶体生长完好,晶体边缘包覆了一层碳(图3A''中箭头所示),厚度约为 $1\sim2\text{ nm}$ 。

2.2 电化学性能

图4给出 $\text{Li}_4\text{Ti}_5\text{O}_{12}/\text{C}$ 电极 0.1C 和 0.5C 首周期充放电曲线

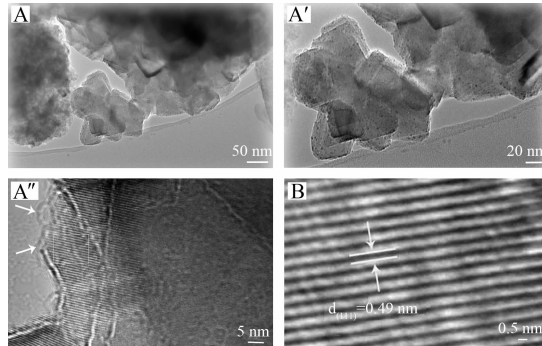


图3 $\text{Li}_4\text{Ti}_5\text{O}_{12}/\text{C}$ 样品的 TEM(A、A'、A'') 和 HRTEM(B) 照片

Fig. 3 TEM (A, A', A'') and HRTEM (B) images of $\text{Li}_4\text{Ti}_5\text{O}_{12}/\text{C}$

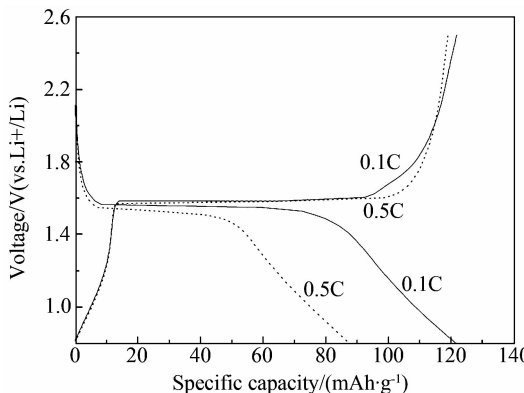


图4 $\text{Li}_4\text{Ti}_5\text{O}_{12}$ 电极 0.1C 和 0.5C 首周期充放电曲线

Fig. 4 First charge-discharge curves of $\text{Li}_4\text{Ti}_5\text{O}_{12}$ electrode at 0.1C and 0.5C

充放电曲线。由图可知, $\text{Li}_4\text{Ti}_5\text{O}_{12}$ 电极 0.1C 和 0.5C 首周期放电比容量分别为 121.7 和 $87.6\text{ mAh}\cdot\text{g}^{-1}$,放电平台 1.55 V (vs. Li^+/Li)左右。倍率增加,其放电容量迅速下降,这可能因 $\text{Li}_4\text{Ti}_5\text{O}_{12}$ 颗粒团聚较严重, Li^+ 增加扩散距离,活性物质与电解液的接触面积减小,阻碍了 Li^+ 的快速传输。

$\text{Li}_4\text{Ti}_5\text{O}_{12}$ 电极 0.1C 和 0.5C 循环寿命曲线如图5所示。由图可见, 0.1C 10 周期循环, $\text{Li}_4\text{Ti}_5\text{O}_{12}$ 电极放电比容量保持于 $119.6\text{ mAh}\cdot\text{g}^{-1}$,几乎无衰减,有良好的循环稳定性; 0.5C 10 周期循环,放电比容量急剧衰减至 $32.5\text{ mAh}\cdot\text{g}^{-1}$,倍率性能较差;经 0.1C 和 0.5C 10 周期循环后,又调回 0.1C 倍率,其放电比容量仍有 $118.4\text{ mAh}\cdot\text{g}^{-1}$,基本可恢复原放电比容量。

$\text{Li}_4\text{Ti}_5\text{O}_{12}/\text{C}$ 电极 $0.1\text{C}\sim10\text{C}$ 倍率首周期充放电曲线如图6所示。由图6可知,该电极 0.1C 、

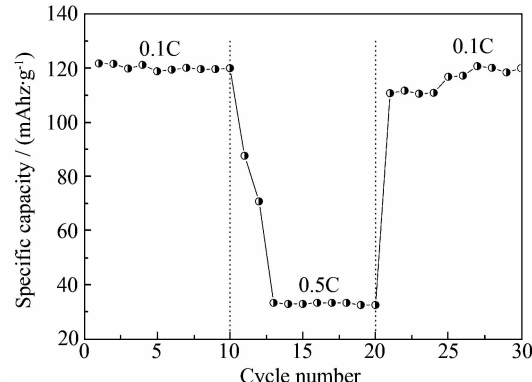


图5 $\text{Li}_4\text{Ti}_5\text{O}_{12}$ 电极 0.1C 和 0.5C 的循环寿命曲线

Fig. 5 Cycling performance of $\text{Li}_4\text{Ti}_5\text{O}_{12}$ electrode at 0.1C and 0.5C

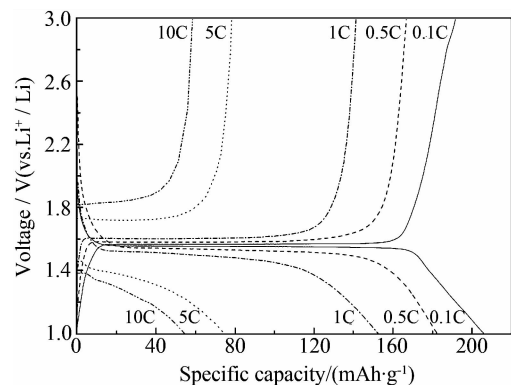


图6 $\text{Li}_4\text{Ti}_5\text{O}_{12}/\text{C}$ 电极不同倍率首周期充放电曲线

Fig. 6 First charge-discharge curves of $\text{Li}_4\text{Ti}_5\text{O}_{12}/\text{C}$ electrode at different rates

0.5C、1C、5C 和 10C 首周期放电比容量分别为 206.1、182.4、136.79.9 和 58.3 $\text{mAh}\cdot\text{g}^{-1}$;当倍率 $< 1\text{C}$ 时,1.5~1.6 V 间曲线有一段很宽的充放电平台,放电平台非常接近 $\text{Li}_4\text{Ti}_5\text{O}_{12}$ 的可逆氧化还原电位(1.55 V),碳包覆 $\text{Li}_4\text{Ti}_5\text{O}_{12}/\text{C}$ 电极极化很小;5C 和 10C 时,其放电平台显著下降至 1.4 V 和 1.3 V,电极极化随电流密度升高而逐渐增大。

图 7 为 $\text{Li}_4\text{Ti}_5\text{O}_{12}/\text{C}$ 电极不同倍率下循环寿命曲线。由图可知, $\text{Li}_4\text{Ti}_5\text{O}_{12}/\text{C}$ 电极在 0.1C、0.5C、1C、5C 和 10C 依次 10 周期循环,放电比容量分别为 191.8、180.6、137.2、83.1 和 57.9 $\text{mAh}\cdot\text{g}^{-1}$ 。低倍率下 $\text{Li}_4\text{Ti}_5\text{O}_{12}/\text{C}$ 电极有优异的循环寿命,其比容量超过 $\text{Li}_4\text{Ti}_5\text{O}_{12}$ 的理论容量 175 $\text{mAh}\cdot\text{g}^{-1}$,5C 和 10C 其放电比容量随充放电周期循环缓慢增加,这可能是在循环过程中 Li^+ 的迁移孔道逐步被疏通。与 $\text{Li}_4\text{Ti}_5\text{O}_{12}$ 电极相比, $\text{Li}_4\text{Ti}_5\text{O}_{12}/\text{C}$ 电极放电比容量有极大提高,倍率性能也得到显著改善,柠檬酸碳化形成的碳包覆层构成碳网络,有效地抑制了前驱体微球体间的团聚,加大了电解液与电极间的接触面积,减小了 Li^+ 扩散路径。同时,碳网络为电子传递提供了通道,增加了 $\text{Li}_4\text{Ti}_5\text{O}_{12}$ 的电子导电性,更有利于大电流充放电。

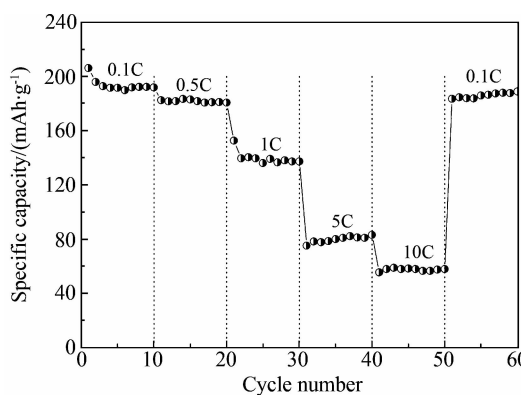


图 7 $\text{Li}_4\text{Ti}_5\text{O}_{12}/\text{C}$ 样品不同倍率下的循环寿命曲线

Fig. 7 Cycling performance of $\text{Li}_4\text{Ti}_5\text{O}_{12}/\text{C}$ electrode at different rates

2.3 循环伏安曲线和交流阻抗谱图

图 8 为 $\text{Li}_4\text{Ti}_5\text{O}_{12}/\text{C}$ 电极的循环伏安曲线。从图中可看到曲线有 1 个氧化峰和 2 个还原峰,1.45~1.75 V 区间对应 $\text{Ti}^{4+}/\text{Ti}^{3+}$ 的氧化还原峰^[7],而 1.43 V 附近的还原峰应属金红石型 TiO_2 的还原。充放电前,曲线呈现十分明显的杂质峰,周期循环

后,杂质峰逐渐减弱直至基本消失。因金红石型 TiO_2 的可逆嵌脱性能较差,周期循环过程中, Li^+ 嵌入 TiO_2 后不能可逆脱出,致使杂质 TiO_2 “失活”。该电极还原峰小于氧化峰, Li^+ 难以快速地嵌入到电极,材料孔道未充分疏通。随着周期循环,其氧化峰与还原峰的比值(I_{pa}/I_{pc})由首周期循环 2.8 降至 11 周期循环 2.4。电极极化度不断降低,材料孔道也逐步疏通。

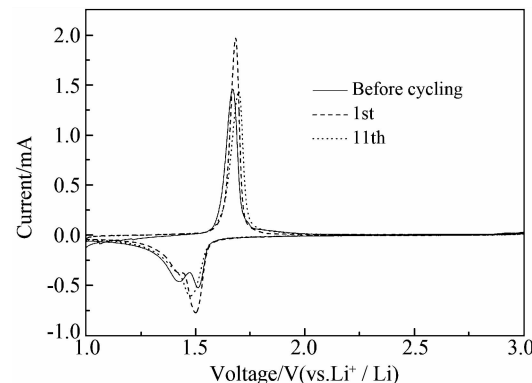


图 8 $\text{Li}_4\text{Ti}_5\text{O}_{12}/\text{C}$ 电极在扫速为 $0.1 \text{ mV}\cdot\text{s}^{-1}$ 的循环伏安曲线

Fig. 8 Cyclic voltammograms of $\text{Li}_4\text{Ti}_5\text{O}_{12}/\text{C}$ electrode at a scanning rate of $0.1 \text{ mV}\cdot\text{s}^{-1}$

图 9 为 $\text{Li}_4\text{Ti}_5\text{O}_{12}$ 和 $\text{Li}_4\text{Ti}_5\text{O}_{12}/\text{C}$ 电极的交流阻抗谱图。从图可以看出,电极的 Nyquist 曲线均由高频区的半圆弧和中低频区的斜线组成。高频区半圆弧表示电荷转移阻抗及电极/溶液界面的双电层电容;中低频区的斜线为 Li^+ 扩散的 Warburg 阻抗。与 $\text{Li}_4\text{Ti}_5\text{O}_{12}$ 电极相比, $\text{Li}_4\text{Ti}_5\text{O}_{12}/\text{C}$ 电极的

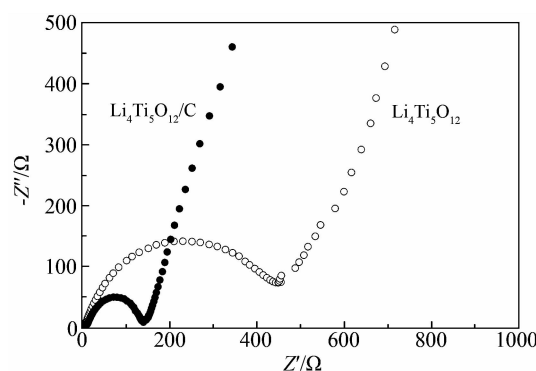


图 9 $\text{Li}_4\text{Ti}_5\text{O}_{12}$ 和 $\text{Li}_4\text{Ti}_5\text{O}_{12}/\text{C}$ 电极的交流阻抗谱图

Fig. 9 Impedance spectra of the as-prepared $\text{Li}_4\text{Ti}_5\text{O}_{12}$ and $\text{Li}_4\text{Ti}_5\text{O}_{12}/\text{C}$ electrodes

高频区半圆弧明显较小,包覆电极电荷转移阻抗大大减小,而中低频区的斜线斜率较大,表明其 Warburg 阻抗较小。由此可见,碳包覆改性能够有效地提高 $\text{Li}_4\text{Ti}_5\text{O}_{12}$ 材料的导电性。

3 结 论

半固相法制备的 $\text{Li}_4\text{Ti}_5\text{O}_{12}$, 其材料结晶性好,但颗粒团聚较严重。该电极首周期放电比容量 121.7 $\text{mAh} \cdot \text{g}^{-1}$, 但倍率性能较差, 0.5C 下其比容量仅 32.5 $\text{mAh} \cdot \text{g}^{-1}$ 。以柠檬酸作碳源制得的碳包覆 $\text{Li}_4\text{Ti}_5\text{O}_{12}$, 材料颗粒呈球形, 粒径分布较均匀, 结晶性好, 有很高的比容量和优异的循环寿命。0.1 C 下 $\text{Li}_4\text{Ti}_5\text{O}_{12}/\text{C}$ 电极首周期放电比容量达 206.1 $\text{mAh} \cdot \text{g}^{-1}$, 0.5C 下其比容量均大于 180 $\text{mAh} \cdot \text{g}^{-1}$, 超过理论值 175 $\text{mAh} \cdot \text{g}^{-1}$, 1C、5C 和 10C 下其比容量分别为 136、79.9 和 58.3 $\text{mAh} \cdot \text{g}^{-1}$, 具有良好的高倍率性能, 有望用作锂离子电池负极并付之应用。

参考文献(References) :

- [1] Ohzuku T, Ueda A, Yamamoto N. Zero-strain insertion material of $\text{Li}[\text{Li}_{1/3}\text{Ti}_{5/3}]_{\text{O}_4}$ for rechargeable lithium cells [J]. Journal of the Electrochemical Society, 1995, 142(5): 1431-1435.
- [2] Kim D H, Ahn Y S, Kim J. Polyol-mediated synthesis of $\text{Li}_4\text{Ti}_5\text{O}_{12}$ nanoparticle and its electrochemical properties [J]. Electrochemistry Communications, 2005, 7(12): 1340-1344.
- [3] Li J R, Tang Z L, Zhang Z T. Controllable formation and electrochemical properties of one-dimensional nanostructured spinel $\text{Li}_4\text{Ti}_5\text{O}_{12}$ [J]. Electrochemistry Communications, 2005, 7(9): 894-899.
- [4] Gao J, Ying J R, Jiang C Y, et al. High-density spherical $\text{Li}_4\text{Ti}_5\text{O}_{12}/\text{C}$ anode material with good rate capacity for lithium ion batteries [J]. Journal of Power Sources, 2007, 166(1): 255-259.
- [5] Zhu N, Liu W, Xue M Q, et al. Graphene as a conductive additive to enhance the high-rate capabilities of electrospun $\text{Li}_4\text{Ti}_5\text{O}_{12}$ for lithium-ion batteries [J]. Electrochimica Acta, 2010, 55(20): 5813-5818.
- [6] Li X, Qu M Z, Yu Z L. Preparation and electrochemical performance of $\text{Li}_4\text{Ti}_5\text{O}_{12}/\text{graphitized carbon nanotubes composite}$ [J]. Solid State Ionics, 2010, 181(13/14): 635-639.
- [7] Wang J, Liu X M, Yang H, et al. Characterization and electrochemical properties of carbon-coated $\text{Li}_4\text{Ti}_5\text{O}_{12}$ prepared by a citric acid sol-gel method [J]. Journal of Alloys and Compounds, 2011, 509(3): 712-718.
- [8] Shen L F, Yuan C Z, Luo H J, et al. In situ growth of $\text{Li}_4\text{Ti}_5\text{O}_{12}$ on multilayered carbon nanotubes: Novel coaxial nanocables for high rate lithium ion batteries [J]. Journal of Materials Chemistry, 2011, 21(3): 761-767.
- [9] He Z Q(何则强), Xiong L Z(熊利芝), Chen S(陈上), et al. Synthesis and characterization of $\text{Li}_4\text{Ti}_5\text{O}_{12}$ -polyaniline composites [J]. Chinese Journal of Inorganic Chemistry (无机化学学报), 2007, 23(8): 1382-1386.
- [10] Cai R, Yu X, Liu X Q, et al. $\text{Li}_4\text{Ti}_5\text{O}_{12}/\text{Sn}$ composite anodes for lithium-ion batteries: Synthesis and electrochemical performance [J]. Journal of Power Sources, 2010, 195(S1): 8244-8250.
- [11] Tian B B, Xiang H F, Zhang L, et al. Niobium doped lithium titanate as a high rate anode material for Li-ion batteries [J]. Electrochimica Acta, 2010, 55(19): 5453-5458.
- [12] Wang D, Xu H Y, Gu M, et al. $\text{Li}_2\text{CuTi}_3\text{O}_8-\text{Li}_4\text{Ti}_5\text{O}_{12}$ double spinel anode material with improved rate performance for Li-ion batteries [J]. Electrochemistry Communications, 2009, 11(1): 50-53.
- [13] Wang J, Zhou Y K, Hu Y Y, et al. Facile synthesis of nanocrystalline TiO_2 mesoporous microspheres for lithium-ion batteries [J]. The Journal of Physical Chemistry C, 2011, 115(5): 2529-2536.

Preparation and Modification of $\text{Li}_4\text{Ti}_5\text{O}_{12}$ as Anode Materials for Lithium-Ion Batteries

LIU Jin-long, LU Zhou-guang^{*}, REN Yang, ZHU Ya-jie, HU Shan-shan,
PENG Zhong, Qian Dong, Tang You-gen

(Institute of Chemical Power Sources & Materials, College of Chemistry and Chemical Engineering,
Central South University, Changsha 410083, China)

Abstract: Anode material $\text{Li}_4\text{Ti}_5\text{O}_{12}$ for lithium-ion batteries was successfully prepared using half-solid-state method. Furthermore, carbon coating modification of $\text{Li}_4\text{Ti}_5\text{O}_{12}$ was also carried out. The phase structure and morphology were analyzed by X-ray diffraction (XRD), scanning electron microscopy (SEM), transmission electron microscopy (TEM) and high resolution transmission electron microscopy (HRTEM). The electrochemical properties were investigated by constant current discharge-charge tests, cyclic voltammetry and electrochemical impedance techniques. The results indicated that the electrochemical performance of $\text{Li}_4\text{Ti}_5\text{O}_{12}$ without modification declined seriously due to the aggregation of $\text{Li}_4\text{Ti}_5\text{O}_{12}$ particles. The initial discharge capacities were only $121.7 \text{ mAh}\cdot\text{g}^{-1}$ at a rate of 0.1C and $87.6 \text{ mAh}\cdot\text{g}^{-1}$ at a rate of 0.5C . By means of carbon coating modification, the as-synthesized composite $\text{Li}_4\text{Ti}_5\text{O}_{12}/\text{C}$ kept the spherical morphology and showed no pronounced aggregation. At the charge-discharge rates less than 0.5C , the special capacities of $\text{Li}_4\text{Ti}_5\text{O}_{12}/\text{C}$ were always larger than $180 \text{ mAh}\cdot\text{g}^{-1}$ during cycling, exceeding the theoretical capacity of $175 \text{ mAh}\cdot\text{g}^{-1}$ for $\text{Li}_4\text{Ti}_5\text{O}_{12}$. Moreover, the modified product exhibited high rate capacities of 136 , 79.9 and $58.3 \text{ mAh}\cdot\text{g}^{-1}$ at 1C , 5C and 10C , respectively. All these results indicated that the carbon coating modification greatly enhanced the electrochemical performance of the product, which displayed excellent cycling stability as well as high rate performance.

Key words: half-solid-state method; $\text{Li}_4\text{Ti}_5\text{O}_{12}$; carbon coating; lithium-ion battery